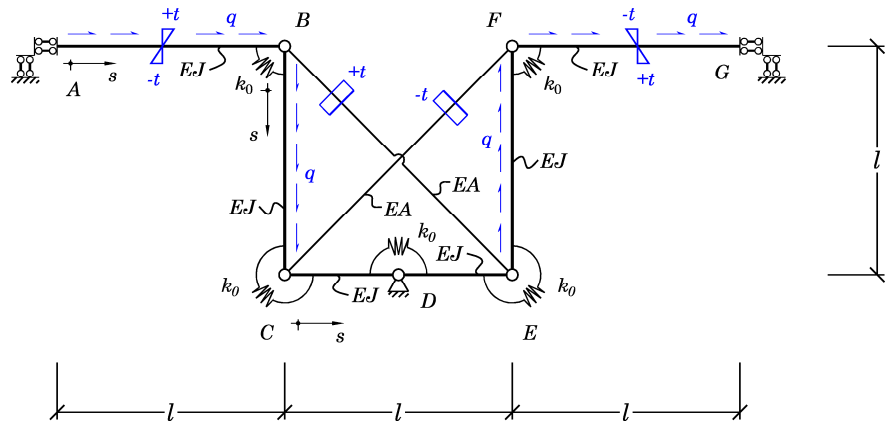


(docente: Prof. Ing. Stefano Bennati)

Sintesi della soluzione della prova scritta del 28 febbraio 2015 – Parte I

**Problema.** Nel sistema di figura 1 le travi  $BE$  e  $CF$  sono *estensibili*, mentre le altre sono *flessibili* ma *inestensibili*. Sulle travi  $AB$ ,  $BC$ ,  $EF$  e  $FG$  agisce un carico distribuito assiale uniforme, di intensità  $q$ , inoltre le travi  $AB$  e  $FG$  sono soggette alle variazioni termiche lineari nello spessore  $H$  della trave, indicate in figura. Infine, le aste reticolari  $BE$  e  $CF$  sono soggette alle variazioni termiche costanti nello spessore della trave indicate in figura.



**Figura 1**

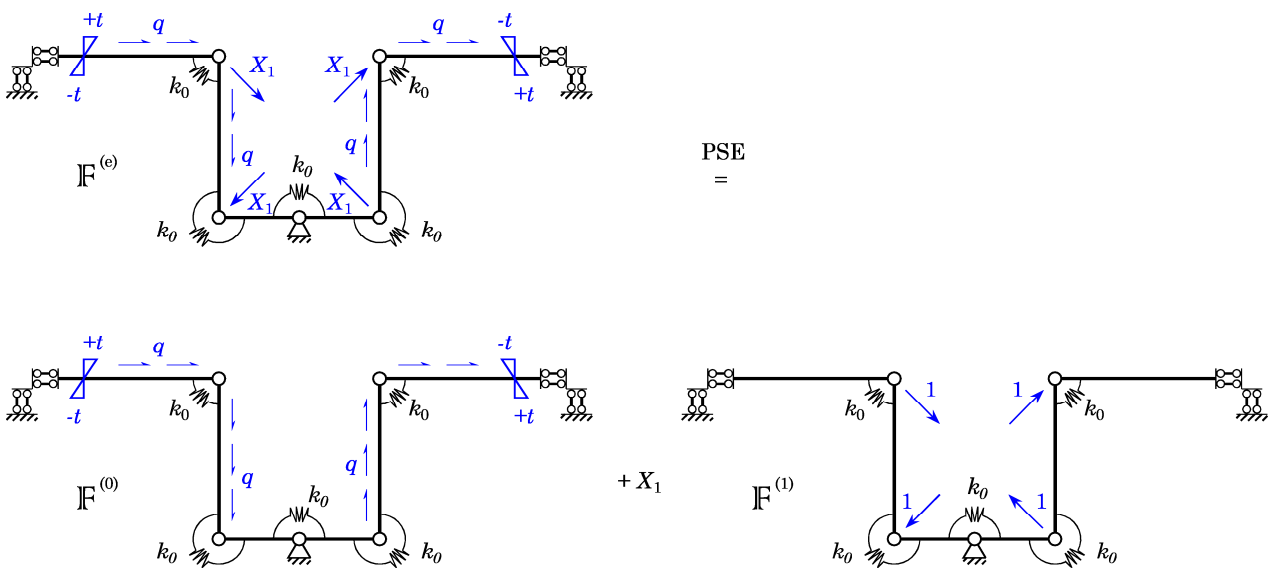
1) Il sistema è 3 volte cinematicamente iperdeterminato, ma considerazioni di antisimmetria consentono di risolvere il problema mediante il metodo delle forze ricorrendo ad un'unica incognita iperstatica. A tale scopo, si sceglie come  $X_1$  il valore dello sforzo normale nell'asta  $BE$  (uguale ed opposto a quello nell'asta  $CF$ ). Il sistema può allora essere decomposto nella somma seguente (figura 2):

$$\mathbf{F}^{(e)} = \mathbf{F}^{(0)} + X_1 \mathbf{F}^{(1)},$$

con:

$$w_E - w_B = \left( \frac{X_1}{EA} + \alpha t \right) l\sqrt{2} \quad \text{e} \quad w_F - w_C = - \left( \frac{X_1}{EA} + \alpha t \right) l\sqrt{2},$$

dove  $w_E$  e  $w_B$  sono gli spostamenti assiali, positivi nella direzione da  $B$  verso  $E$ , delle sezioni  $B$  ed  $E$  della trave  $BE$  e  $w_F$  e  $w_C$  sono gli spostamenti assiali, positivi nella direzione da  $C$  verso  $F$ , delle sezioni  $C$  ed  $F$  della trave  $CF$ .



**Figura 2**

Considerazioni di equilibrio consentono di determinare le reazioni vincolari esterne per il sistema  $\mathbf{F}^{(0)}$ , mentre per il sistema  $\mathbf{F}^{(1)}$  queste ultime sono nulle. I due sistemi sono rappresentati nelle figure 3 e 4.

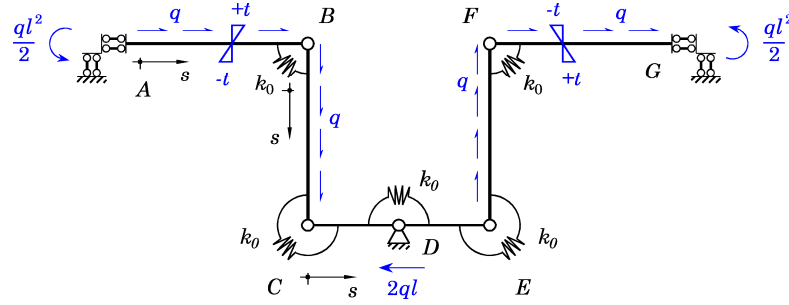


Figura 3

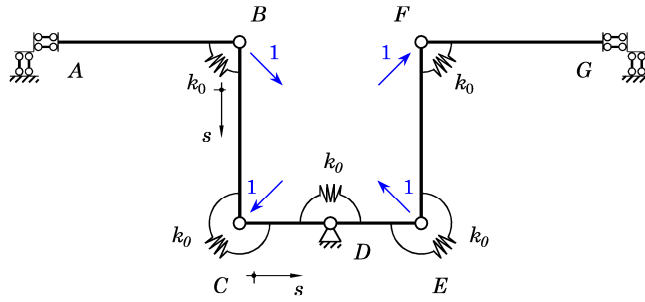


Figura 4

Le CdS nei vari tratti e nei sistemi  $\mathbf{F}^{(0)}$  e  $\mathbf{F}^{(1)}$  sono raccolte nella tabella seguente, nella quale  $s \in (0, l)$  per AB e BC e  $s \in (0, l/2)$  per CD.

	$N_0$	$T_0$	$M_0$	$N_1$	$T_1$	$M_1$
AB	$-qs$	0	$-\frac{ql^2}{2}$	0	0	0
BC	$-qs$	$ql$	$ql\left(s - \frac{l}{2}\right)$	$-\frac{1}{\sqrt{2}}$	$\frac{1}{\sqrt{2}}$	$\frac{s}{\sqrt{2}}$
CD	$-ql$	$-ql$	$ql\left(\frac{l}{2} - s\right)$	0	$-\sqrt{2}$	$\sqrt{2}\left(\frac{l}{2} - s\right)$

Considerazioni di antisimmetria (figura 5) consentono di descrivere le CdS nelle travi DE, EF e FG in funzione di quelle fornite nella tabella precedente:

$$N_{DE}(s) = -N_{CD}(s); \quad T_{DE}(s) = T_{CD}(s); \quad M_{DE}(s) = M_{CD}(s)$$

$$N_{EF}(s) = -N_{BC}(s); \quad T_{EF}(s) = T_{BC}(s); \quad M_{EF}(s) = M_{BC}(s)$$

$$N_{FG}(s) = -N_{AB}(s); \quad T_{FG}(s) = T_{AB}(s); \quad M_{FG}(s) = M_{AB}(s)$$

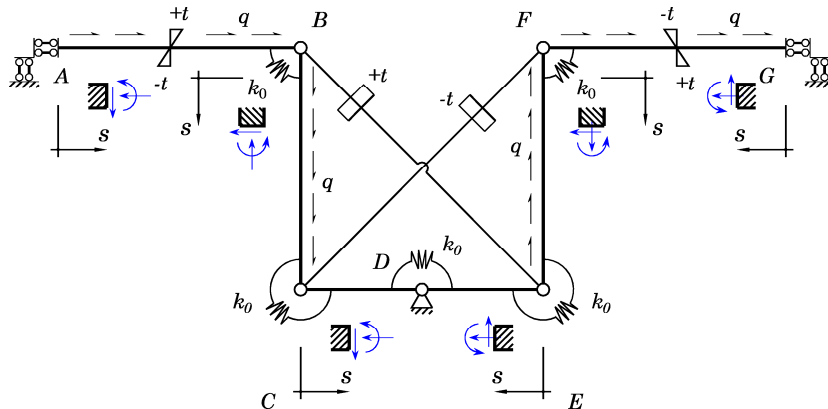


Figura 5

I diagrammi quotati delle CdS sono rappresentati in figura 6.

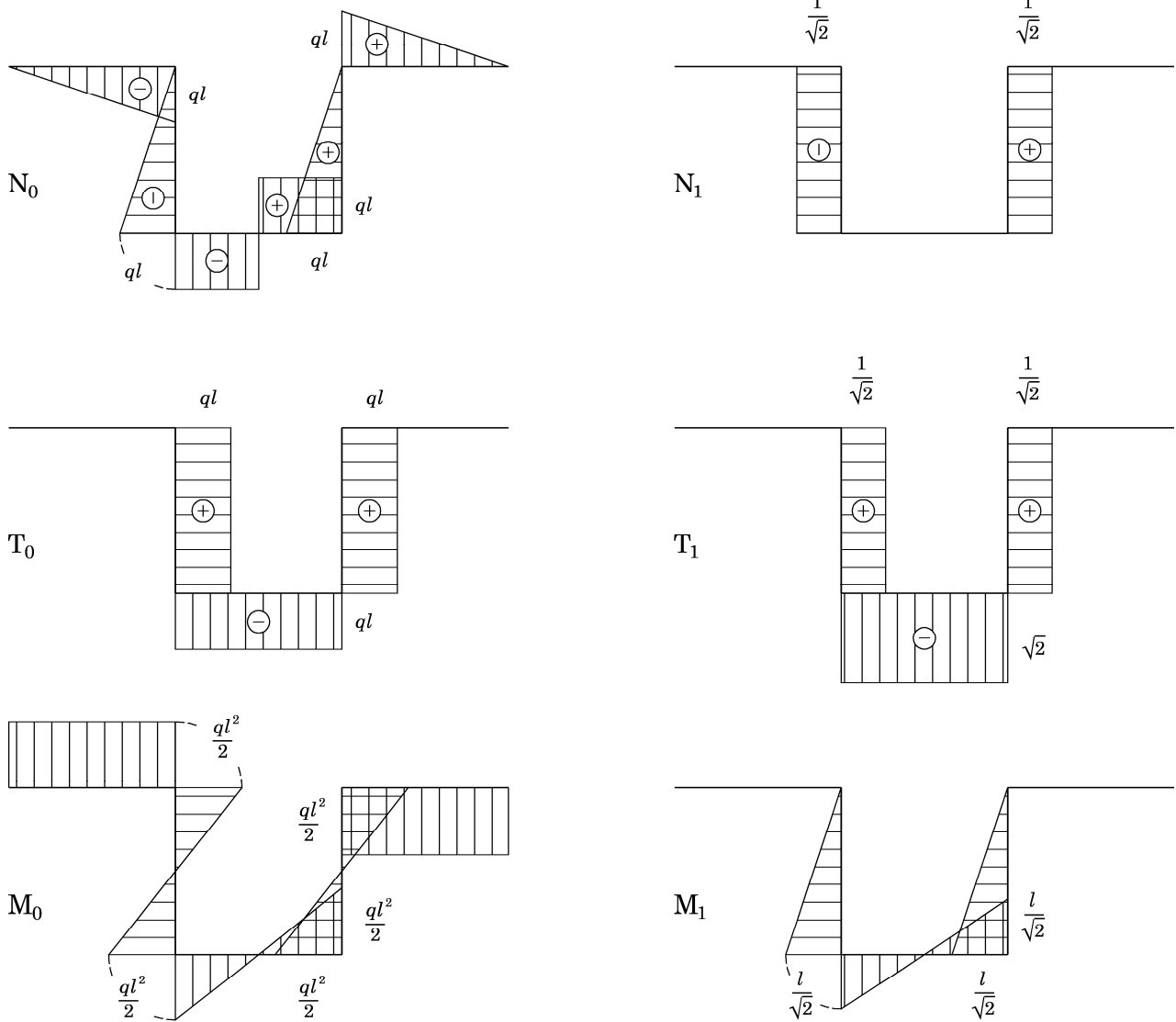


Figura 6

I coefficienti di Müller-Breslau sono i seguenti:

$$\eta_1 = -2l\sqrt{2} \left( \frac{X_1}{EA} + \alpha t \right);$$

$$1 \cdot \eta_{10} - 2M_{m,1}^B \frac{M_{m,0}^B}{k_0} - 2M_{m,1}^C \frac{M_{m,0}^C}{k_0} - M_{m,1}^D \frac{M_{m,0}^D}{k_0} = 2 \int_{BC} M_1 \frac{M_0}{EJ} ds; \quad \rightarrow \quad \eta_{10} = \frac{\sqrt{2}}{8} \frac{ql^4}{EJ} + \frac{\sqrt{2}}{2} \frac{ql^3}{k_0};$$

$$1 \cdot \eta_{11} - 2 \frac{(M_{m,1}^B)^2}{k_0} - 2 \frac{(M_{m,1}^C)^2}{k_0} - \frac{(M_{m,1}^D)^2}{k_0} = 2 \int_{BC,CD} \frac{M_1^2}{EJ} ds; \quad \rightarrow \quad \eta_{11} = \frac{1}{2} \frac{l^3}{EJ} + \frac{l^2}{k_0}.$$

Conseguentemente,

$$X_1 = - \frac{2\sqrt{2}\alpha tl + \eta_{10}}{2\sqrt{2} \frac{l}{EA} + \eta_{11}}; \quad \rightarrow \quad X_1 = - \frac{2\sqrt{2}}{2\sqrt{2} + \frac{EA l^2}{2EJ} + \frac{EA l}{k_0}} EA \alpha t - \frac{\frac{\sqrt{2}}{8} \frac{EA l^2}{EJ} + \frac{\sqrt{2}}{2} \frac{EA l}{k_0}}{2\sqrt{2} + \frac{EA l^2}{2EJ} + \frac{EA l}{k_0}} ql.$$

2) Le equazioni differenziali e le condizioni al bordo per i tratti  $AB$  (tratto 1),  $BC$  (tratto 2) e  $CD$  (tratto 3) che consentono di risolvere il problema mediante il metodo della linea elastica sono le seguenti (figura 1):

$$EJv_i^{IV} = 0, \text{ per } i = 1, 2, 3;$$

- |  |  |   |
|--|--|---|
| 1. $v_3(l/2) = 0;$                               | 2. $v_2(l) = 0;$   | 3. $v_1(l) = v_3(0);$   |
| 4. $v_1^I(0) = 0;$                               | 5. $-EJ \left[ v_1^{II}(0) - \frac{2\alpha t}{H} \right] = -\frac{ql^2}{2};$ | 6. $-EJ \left[ v_1^{II}(l) - \frac{2\alpha t}{H} \right] = -EJv_2^{II}(0);$ |
| 7. $-EJv_2^{II}(0) = k_0 [v_1^I(l) - v_2^I(0)];$ | 8. $-EJv_2^{II}(l) = -EJv_3^{II}(0);$  | 9. $-EJv_3^{II}(0) = k_0 [v_2^I(l) - v_3^I(0)];$                            |
| 10. $-EJv_1^{III}(0) = 0;$                       | 11. $-EJv_2^{III}(0) = ql + \frac{1}{\sqrt{2}} N_{BE}, \text{ (fig. 7);}$    | 12. $-EJv_3^{III}(0) = -ql - \sqrt{2} N_{BE}, \text{ (fig. 7).}$            |

Avendo espresso la curvatura della trave  $AB$  come:

$$-v_1^{II}(s) = \frac{M_1(s)}{EJ} - \frac{2\alpha t}{H},$$

ed avendo determinato gli sforzi nelle aste estensibili in funzione degli spostamenti trasversali delle sezioni  $B$  e  $C$  come (figura 8):

$$N_{BE} = \frac{EA}{2l} [v_2(0) - 2v_1(l) - 2\alpha t l]; \quad N_{CE} = -N_{BE}.$$

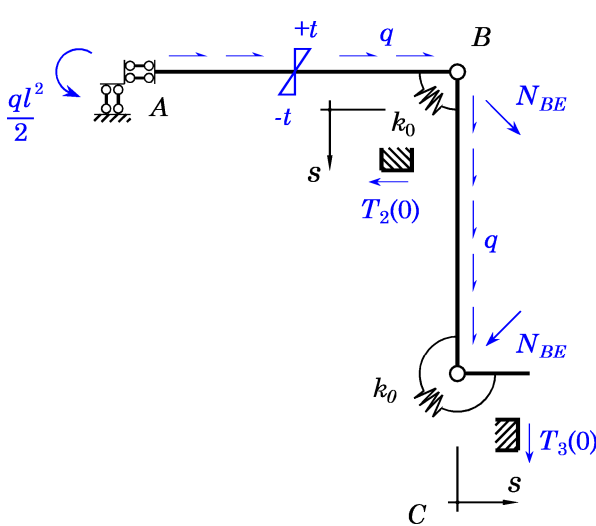


Figura 7

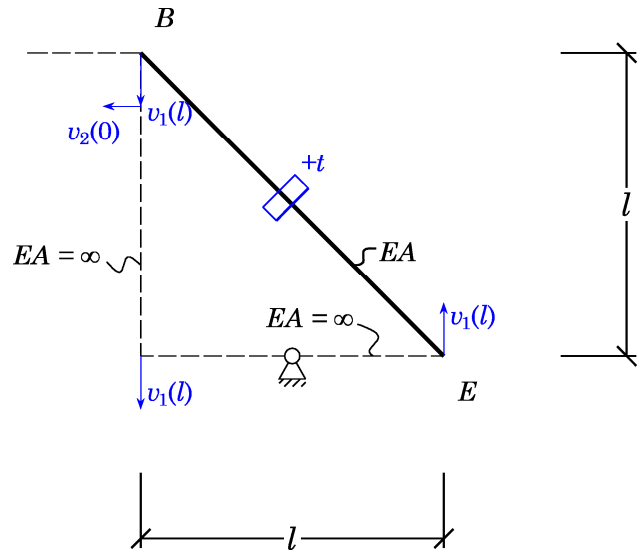


Figura 8

Gli spostamenti delle travi  $DE$  (tratto 4),  $EF$  (tratto 5) e  $FG$  (tratto 6) possono essere dedotti attraverso considerazioni di antisimmetria come (figura 5):

$$v_6(s) = v_1(s); \quad v_5(s) = v_2(s); \quad v_4(s) = v_3(s).$$

3) Il sistema risulta 3 volte cinematicamente iperdeterminato, infatti la matrice cinematica  $\mathbb{C}$  è una matrice  $12 \times 9$ , di rango 9.

N.B. Si ricorda che la presente prova scritta può essere utilizzata per le successive prove (quella scritta, relativa alla parte II, e quella orale) entro 60 giorni dalla data della prova stessa.

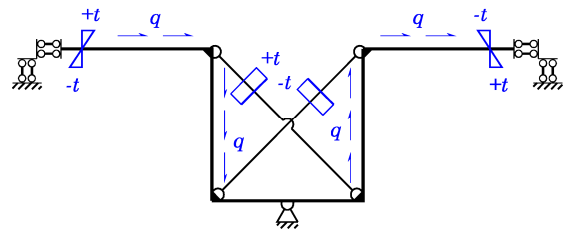


Figura 9

4 marzo 2015.